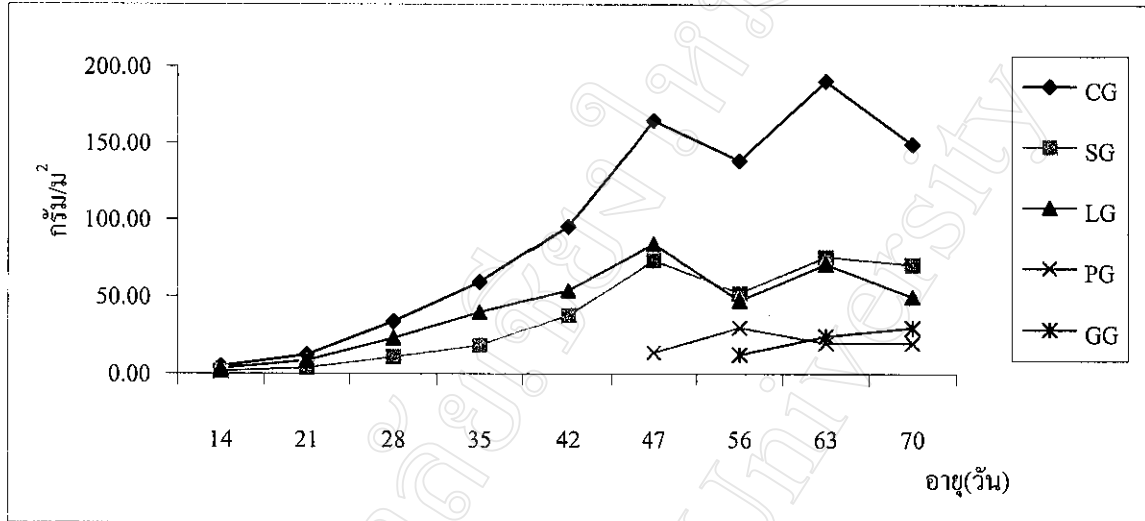


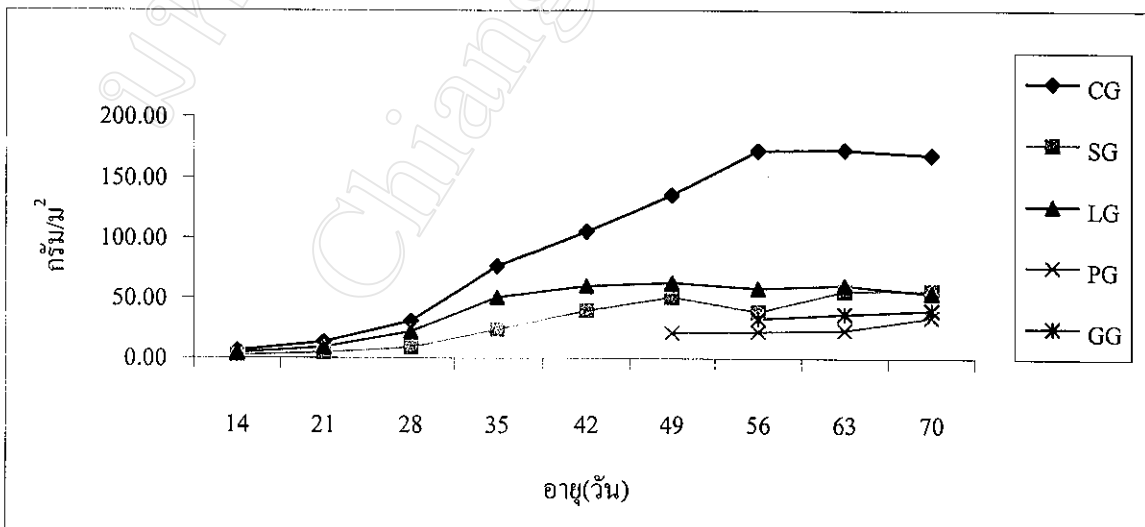
มหาวิทยาลัยเชียงใหม่
Chiang Mai University

ภาคผนวก

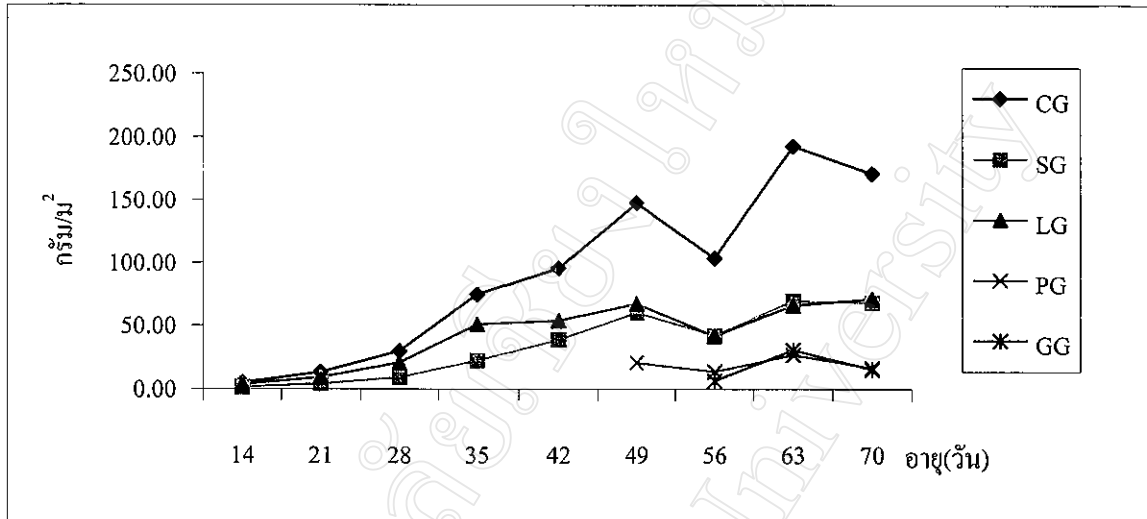
ภาพภาคผนวกที่ 1 อัตราการเจริญเติบโตรวม (CGR) อัตราการเจริญเติบโตของลำต้น(SGR) ใบ (LGR) ฝัก (PGR)และเมล็ด(GGR) ของถั่วอะซูกิสายพันธุ์ Erimo



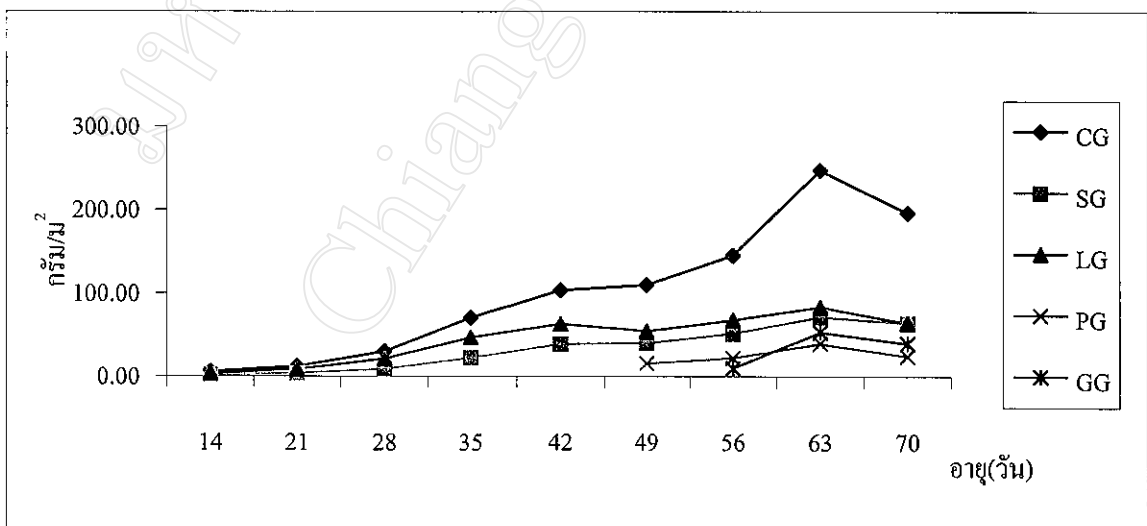
ภาพภาคผนวกที่ 2 อัตราการเจริญเติบโตรวม (CGR) อัตราการเจริญเติบโตของลำต้น(SGR) ใบ (LGR) ฝัก (PGR)และเมล็ด(GGR) ของถั่วอะซูกิสายพันธุ์ B#109



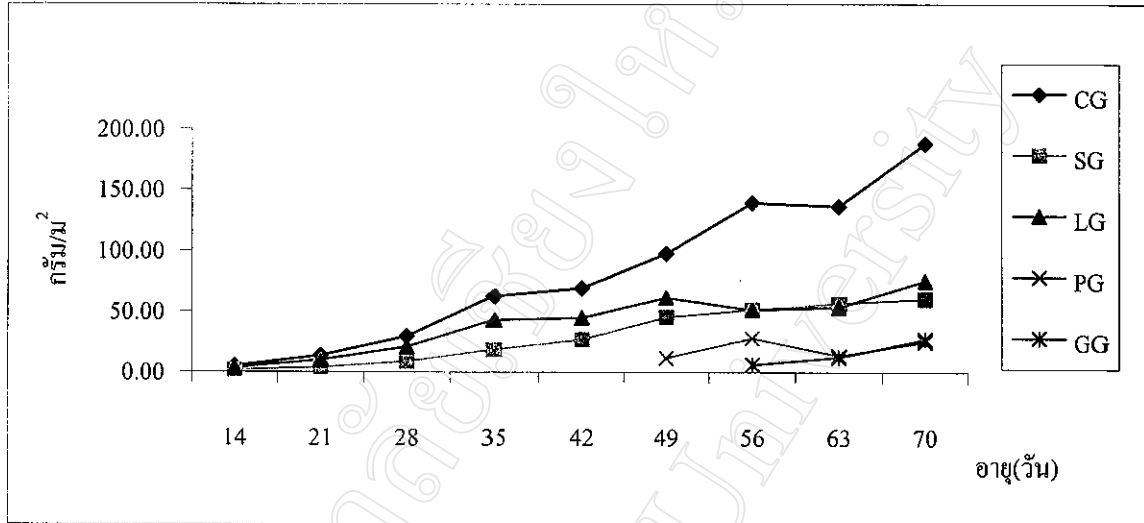
ภาพภาคผนวกที่ 3 อัตราการเจริญเติบโตรวม (CGR) อัตราการเจริญเติบโตของลำต้น(SGR) ใบ (LGR) ฟัก (PGR)และเมล็ด(GGR) ของถั่วอะซูกิสายพันธุ์ Akenowase



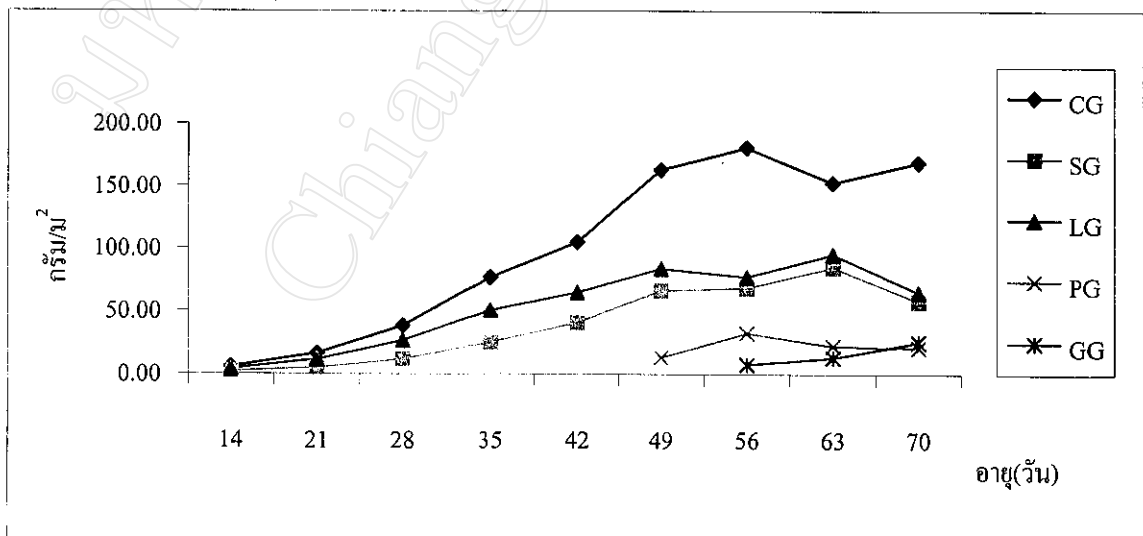
ภาพภาคผนวกที่ 4 อัตราการเจริญเติบโตรวม (CGR) อัตราการเจริญเติบโตของลำต้น(SGR) ใบ (LGR) ฟัก (PGR)และเมล็ด(GGR) ของถั่วอะซูกิสายพันธุ์ WyR-6433



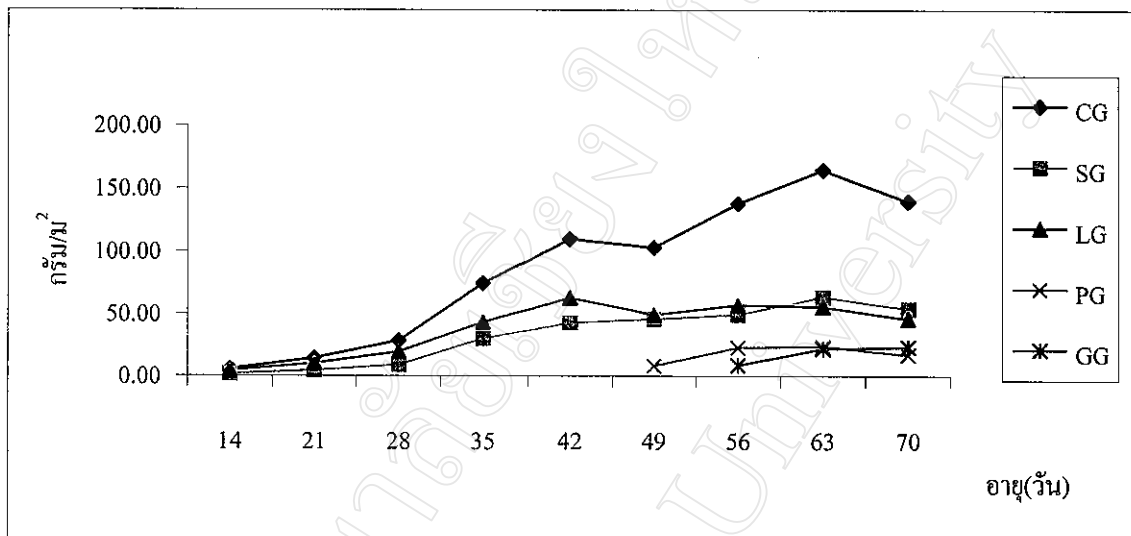
ภาพภาคผนวกที่ 5 อัตราการเจริญเติบโตรวม (CGR) อัตราการเจริญเติบโตของลำต้น(SGR) ใบ (LGR) ฝัก (PGR)และเมล็ด(GGR) ของถั่วอะซูกิสายพันธุ์ Kyotodainagon



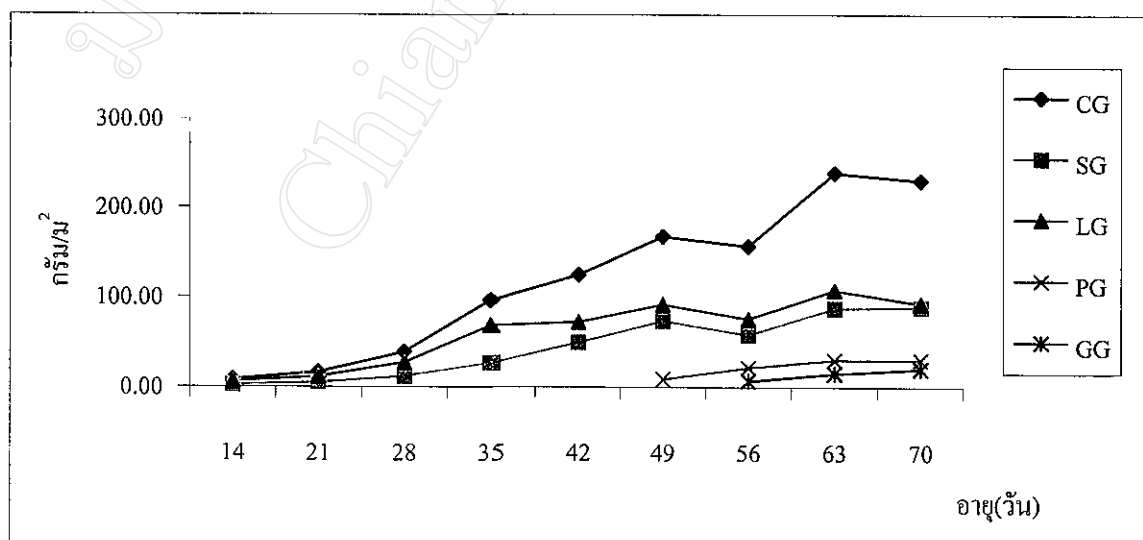
ภาพภาคผนวกที่ 6 อัตราการเจริญเติบโตรวม (CGR) อัตราการเจริญเติบโตของลำต้น(SGR) ใบ (LGR) ฝัก (PGR)และเมล็ด(GGR) ของถั่วอะซูกิสายพันธุ์ Natsushouzu (m43)



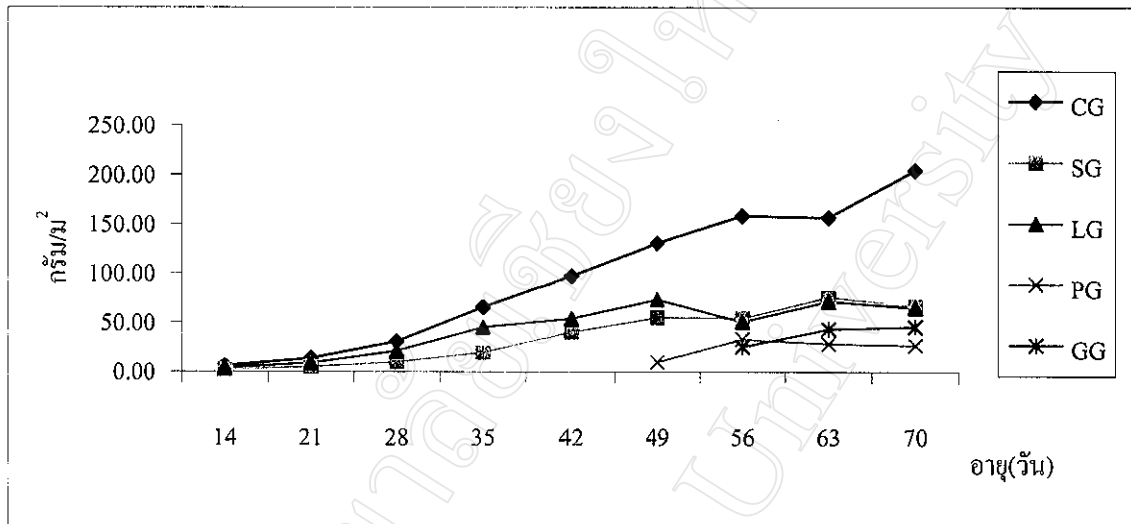
ภาพภาคผนวกที่ 7 อัตราการเจริญเติบโตรวม (CGR) อัตราการเจริญเติบโตของลำต้น(SGR) ใบ (LGR) ฟัก (PGR)และเมล็ด(GGR) ของถั่วอะซูกิสายพันธุ์ Kenzaki



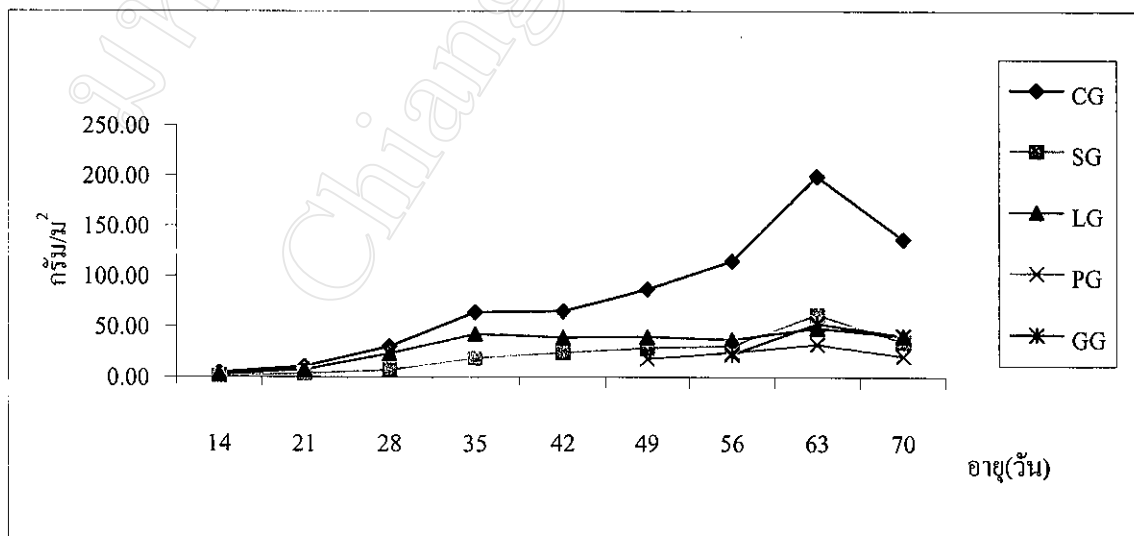
ภาพภาคผนวกที่ 8 อัตราการเจริญเติบโตรวม (CGR) อัตราการเจริญเติบโตของลำต้น(SGR) ใบ (LGR) ฟัก (PGR)และเมล็ด(GGR) ของถั่วอะซูกิสายพันธุ์ Hokkaidodainagon



ภาพภาคผนวกที่ 9 อัตราการเจริญเติบโตรวม (CGR) อัตราการเจริญเติบโตของลำต้น(SGR) ใบ (LGR) ฝัก (PGR)และเมล็ด(GGR) ของถั่วอะซูกิสายพันธุ์ Benidainagon



ภาพภาคผนวกที่ 10 อัตราการเจริญเติบโตรวม (CGR) อัตราการเจริญเติบโตของลำต้น(SGR) ใบ (LGR) ฝัก (PGR)และเมล็ด(GGR) ของถั่วอะซูกิสายพันธุ์ Awa aka shou



ตารางภาคผนวกที่ 1 สมการ Simple linear regression ของอัตราการเจริญเติบโตรวม (CGR) อัตราการเจริญเติบโตของลำต้น (SGR) ของสายพันธุ์ถั่วอะซูกิทั้ง 10 สายพันธุ์

พันธุ์	การเจริญเติบโตรวม	การเจริญเติบโตของลำต้น
Erimo	$Y = 27.439x - 18.466$ $r = 0.9857^{**}$	$Y = 16.6x - 21.019$ $r = 0.8839^{**}$
B#109	$Y = 32.45x - 24.658$ $r = 0.9924^{**}$	$Y = 12.387x - 11.627$ $r = 0.9757^{**}$
Akenowase	$Y = 33.483x - 28.201$ $r = 0.9719^{**}$	$Y = 14.155x - 15.608$ $r = 0.9557^{**}$
WyR-6433	$Y = 31.493x - 24.622$ $r = 0.9805^{**}$	$Y = 10.265x - 8.0505$ $r = 0.9484^{**}$
Kyotodainagon	$Y = 23.997x - 15.267$ $r = 0.9651^{**}$	$Y = 10.138x - 9.7549$ $r = 0.9504^{**}$
Natsushouzu(m43)	$Y = 34.89x - 25.552$ $r = 0.9822^{**}$	$Y = 15.132x - 15.683$ $r = 0.9521^{**}$
Kenzaki	$Y = 33.224x - 26.336$ $r = 0.9642^{**}$	$Y = 11.652x - 8.6381$ $r = 0.9395^{**}$
Hokkaidodainagon	$Y = 38.855x - 7.993$ $r = 0.9861^{**}$	$Y = 17.433x - 19.236$ $r = 0.9578^{**}$
Benidainagon	$Y = 30.153x - 22.778$ $r = 0.994^{**}$	$Y = 13.073x - 13.367$ $r = 0.9512^{**}$
Awa aka shou	$Y = 26.971x - 26.519$ $r = 0.8822^{**}$	$Y = 6.769x - 3.9903$ $r = 0.9679^{**}$

ตารางภาคผนวกที่ 2 สมการ Simple linear อัตราการเจริญเติบโตของใบ (LGR) อัตราการเจริญเติบโตของฝัก (PGR) ของสายพันธุ์ถั่วอะซูกิทั้ง 10 สายพันธุ์

พันธุ์	การเจริญเติบโตของใบ	การเจริญเติบโตของฝัก
Erimo	$Y = 18.186x - 12.694$ $r = 0.9749^{**}$	$Y = 15.3x + 2.734$ $r = 0.8007$
B#109	$Y = 14.55x - 2.7362$ $r = 0.9148^{**}$	$Y = 16.29x + 11.845$ $r = 0.8889^*$
Akenowase	$Y = 14.933x + 4.441$ $r = 0.9383^{**}$	$Y = 18.46x - 4.4069$ $r = 0.7411$
WyR-6433	$Y = 18.1956x - 12.479$ $r = 0.9845^{**}$	$Y = 20.536x - 0.5195$ $r = 0.5986$
Kyotodainagon	$Y = 12.713x - 2.0741$ $r = 0.9526^{**}$	$Y = 9.0315x + 19.397$ $r = 0.4486$
Natsushouzu(m43)	$Y = 18.186x - 7.1814$ $r = 0.9928^{**}$	$Y = 11.169x + 7.2566$ $r = 0.6024$
Kenzaki	$Y = 18.186x - 11.574$ $r = 0.9753^{**}$	$Y = 10.95x + 3.8666$ $r = 0.734$
Hokkaidodainagon	$Y = 20.542x - 7.654$ $r = 0.9412^{**}$	$Y = 19.083x - 10.52$ $r = 1^{**}$
Benidainagon	$Y = 16.249x - 8.2268$ $r = 0.9851^{**}$	$Y = 13.434x + 44.862$ $r = 1^{**}$
Awa aka shou	$Y = 17.635x + 10.895$ $r = 0.9926^{**}$	$Y = 16.7x + 10.889$ $r = 0.5978$

ตารางภาคผนวกที่ 3 ลักษณะประจำพันธุ์ ของสายพันธุ์ถั่วอะซูกิ 10 สายพันธุ์

พันธุ์	ลักษณะประจำพันธุ์
Erimo	มีถิ่นกำเนิดที่ Hokkaido Agricultural University ต้นสูงประมาณ 50 –60 ซม. อายุออกดอกประมาณ 35-40 วัน ฝักยาวโค้ง เปลือกฝักสีน้ำตาลอ่อน ลักษณะการเจริญเติบโตเป็นแบบไม่ทอดทอด ทรงพุ่มสูง เมล็ดมีขนาดใหญ่ สีแดงเข้ม รูปร่างใบปกติ
B#109	ลักษณะส่วนใหญ่เหมือนพันธุ์ Erimo ต่างกันที่ ฝักและเมล็ดมีขนาดใหญ่ มาก เปลือกฝักสีน้ำตาล เมล็ดสีแดงสด รูปร่างใบปกติ
Akenowase	ลักษณะส่วนใหญ่เหมือนพันธุ์ Erimo ต่างกันที่ เปลือกฝักสีน้ำตาล เมล็ดสีแดงสด รูปร่างใบปกติ
WyR-6433	มีถิ่นกำเนิดที่ Introduced from Soviet Union in 1976 ลักษณะการเจริญเติบโตเป็นแบบกิ่งทอดทอด เปลือกฝักสีน้ำตาลอ่อน เมล็ดสีแดง รูปร่างใบปกติ
Kyoto dainagon	มีถิ่นกำเนิดที่ Hyogo Prefectural Hokubu Agricultural Experiment Sta. In 1927 ลักษณะส่วนใหญ่เหมือนพันธุ์ Erimo ต่างกันที่ ต้นเตี้ย เปลือกฝักสีดำ เมล็ดมีขนาดใหญ่มาก สีแดงสด รูปร่างใบปกติ
Natsushouzu(m43)	มีถิ่นกำเนิดที่ Native origin Hokkaido Agricultural เปลือกฝักสีดำ ฝักมีขนาดใหญ่มาก เมล็ดมีสีแดงสด รูปร่างใบปกติ
Kenzaki	ลักษณะส่วนใหญ่เหมือนพันธุ์ Erimo ต่างกันที่ เปลือกฝักสีน้ำตาลอ่อน ฝักมีขนาดยาวมากและคด เมล็ดมีสีแดงสด รูปร่างใบเป็นรูปหอก ยาวเรียว
Hokkaido dainagon	มีถิ่นกำเนิดที่ Hyogo Prefectural Hokubu Agricultural Experiment Sta. In 1927 เปลือกฝักสีน้ำตาล เมล็ดมีสีแดงสด รูปร่างใบปกติ
Benidainagon	ได้มาจากสายพันธุ์ “Toiku 85”x”Kiyohara Haru shouzu” เปลือกฝักสีดำ เมล็ดมีสีแดงและมีขนาดใหญ่มาก รูปร่างใบปกติ
Awa aka shou	ลักษณะส่วนใหญ่เหมือนพันธุ์ Erimo ต่างกันที่ เปลือกฝักสีดำ ฝักมีขนาดยาวและใหญ่มาก เมล็ดมีสีแดงสด รูปร่างใบปกติ

ตารางภาคผนวกที่ 4 แสดงผลการวิเคราะห์ความแปรปรวนของความสูงอายุที่ 14 วัน
ของถั่วอะซูกิ 10 สายพันธุ์

SOURCE	DF	SS	MS	F
REP (A)	2	6.89523	3.44761	6.69**
VAR (B)	9	12.4407	1.38231	2.68*
A*B	18	9.27677	0.51538	
TOTAL	29	28.6127		

CV = 8.08 %

ตารางภาคผนวกที่ 5 แสดงผลการวิเคราะห์ความแปรปรวนของความสูงอายุที่ 21 วัน
ของถั่วอะซูกิ 10 สายพันธุ์

SOURCE	DF	SS	MS	F
REP (A)	2	7.20499	3.60249	2.07ns
VAR (B)	9	27.9372	3.10413	1.79ns
A*B	18	31.2598	1.73666	
TOTAL	29	66.4020		

CV = 11.07 %

ตารางภาคผนวกที่ 6 แสดงผลการวิเคราะห์ความแปรปรวนของความสูงอายุที่ 28 วัน
ของถั่วอะซูกิ 10 สายพันธุ์

SOURCE	DF	SS	MS	F
REP (A)	2	1.64502	0.82251	0.28ns
VAR (B)	9	52.3616	5.81796	1.95ns
A*B	18	53.7242	2.98468	
TOTAL	29	107.731		

CV = 12.38 %

ตารางภาคผนวกที่ 7 แสดงผลการวิเคราะห์ความแปรปรวนของความสูงอายุที่ 35 วัน
ของถั่วอะซูกิ 10 สายพันธุ์

SOURCE	DF	SS	MS	F
REP (A)	2	24.5633	12.2816	2.20ns
VAR (B)	9	108.607	12.0675	2.16ns
A*B	18	100.574	5.58746	
TOTAL	29	233.745		

CV = 14.42 %

ตารางภาคผนวกที่ 8 แสดงผลการวิเคราะห์ความแปรปรวนของความสูงอายุที่ 42 วัน
ของถั่วอะซูกิ 10 สายพันธุ์

SOURCE	DF	SS	MS	F
REP (A)	2	35.0015	17.5007	1.48ns
VAR (B)	9	138.097	15.3441	1.30ns
A*B	18	212.163	11.7869	
TOTAL	29	385.262		

CV = 17.61 %

ตารางภาคผนวกที่ 9 แสดงผลการวิเคราะห์ความแปรปรวนของความสูงอายุที่ 49 วัน
ของถั่วอะซูกิ 10 สายพันธุ์

SOURCE	DF	SS	MS	F
REP (A)	2	23.8862	11.9431	2.12ns
VAR (B)	9	325.070	36.1189	3.38*
A*B	18	192.222	10.6790	
TOTAL	29	541.178		

CV = 14.89 %

ตารางภาคผนวกที่ 10 แสดงผลการวิเคราะห์ความแปรปรวนของความสูงอายุที่ 56 วัน
ของถั่วอะซูกิ 10 สายพันธุ์

SOURCE	DF	SS	MS	F
REP (A)	2	16.9542	8.47708	0.80ns
VAR (B)	9	405.650	45.0722	4.27**
A*B	18	190.094	10.5608	
TOTAL	29	612.698		

CV = 14.18 %

ตารางภาคผนวกที่ 11 แสดงผลการวิเคราะห์ความแปรปรวนของความสูงอายุที่ 63 วัน
ของถั่วอะซูกิ 10 สายพันธุ์

SOURCE	DF	SS	MS	F
REP (A)	2	20.8871	10.4436	1.00ns
VAR (B)	9	465.245	51.6939	4.93**
A*B	18	188.599	10.4777	
TOTAL	29	674.732		

CV = 13.69 %

ตารางภาคผนวกที่ 12 แสดงผลการวิเคราะห์ความแปรปรวนของน้ำหนักแห้งใบอายุที่ 14 วัน
ของถั่วอะซูกิ 10 สายพันธุ์

SOURCE	DF	SS	MS	F
REP (A)	2	7.60629	3.80314	7.89**
VAR (B)	9	15.2687	1.69652	3.52*
A*B	18	8.67345	0.48186	
TOTAL	29	31.5484		

CV = 17.88 %

ตารางภาคผนวกที่ 13 แสดงผลการวิเคราะห์ความแปรปรวนของน้ำหนักแห้งใบอายุที่ 21 วัน
ของถั่วอะซูกิ 10 สายพันธุ์

SOURCE	DF	SS	MS	F
REP (A)	2	21.4089	10.7045	2.29ns
VAR (B)	9	47.8178	5.31309	1.14ns
A*B	18	84.2603	4.68113	
TOTAL	29	153.487		

CV = 23.09 %

ตารางภาคผนวกที่ 14 แสดงผลการวิเคราะห์ความแปรปรวนของน้ำหนักแห้งใบอายุที่ 28 วัน
ของถั่วอะซูกิ 10 สายพันธุ์

SOURCE	DF	SS	MS	F
REP (A)	2	28.9155	14.4578	054ns
VAR (B)	9	171.561	19.0623	0.71ns
A*B	18	481.874	26.7708	
TOTAL	29	682.351		

CV = 22.92 %

ตารางภาคผนวกที่ 15 แสดงผลการวิเคราะห์ความแปรปรวนของน้ำหนักแห้งใบอายุที่ 35 วัน
ของถั่วอะซูกิ 10 สายพันธุ์

SOURCE	DF	SS	MS	F
REP (A)	2	136.123	68.0612	1.05ns
VAR (B)	9	1735.07	192.785	2.97*
A*B	18	1169.83	64.9904	
TOTAL	29	3041.02		

CV = 16.73 %

ตารางภาคผนวกที่ 16 แสดงผลการวิเคราะห์ความแปรปรวนของน้ำหนักแห้งใบอายุที่ 42 วัน
ของถั่วอะซูกิ 10 สายพันธุ์

SOURCE	DF	SS	MS	F
REP (A)	2	2970.65	1485.32	10.58**
VAR (B)	9	2573.14	285.905	2.04ns
A*B	18	2528.05	140.447	
TOTAL	29	8071.84		

CV = 20.88 %

ตารางภาคผนวกที่ 17 แสดงผลการวิเคราะห์ความแปรปรวนของน้ำหนักแห้งใบอายุที่ 49 วัน
ของถั่วอะซูกิ 10 สายพันธุ์

SOURCE	DF	SS	MS	F
REP (A)	2	1037.82	518.912	2.07ns
VAR (B)	9	7419.63	824.404	3.28*
A*B	18	4522.88	251.271	
TOTAL	29	12980.3		

CV = 23.74 %

ตารางภาคผนวกที่ 18 แสดงผลการวิเคราะห์ความแปรปรวนของน้ำหนักแห้งใบอายุที่ 56 วัน
ของถั่วอะซูกิ 10 สายพันธุ์

SOURCE	DF	SS	MS	F
REP (A)	2	563.196	281.598	0.74ns
VAR (B)	9	4963.42	551.491	1.45ns
A*B	18	6862.43	381.246	
TOTAL	29	12389.1		

CV = 34.64 %

ตารางภาคผนวกที่ 19 แสดงผลการวิเคราะห์ความแปรปรวนของน้ำหนักแห้งใบอายุที่ 63 วัน
ของถั่วอะซูกิ 10 สายพันธุ์

SOURCE	DF	SS	MS	F
REP (A)	2	257.558	128.779	0.51ns
VAR (B)	9	9682.84	1075.87	4.25**
A*B	18	4557.07	253.171	
TOTAL	29	14497.5		

CV = 22.34 %

ตารางภาคผนวกที่ 20 แสดงผลการวิเคราะห์ความแปรปรวนของน้ำหนักแห้งใบอายุที่ 63 วัน
ของถั่วอะซูกิ 10 สายพันธุ์

SOURCE	DF	SS	MS	F
REP (A)	2	10509.6	5254.78	29.86**
VAR (B)	9	6438.24	715.360	4.06**
A*B	18	3167.92	175.996	
TOTAL	29	20115.7		

CV = 21.31 %

ตารางภาคผนวกที่ 21 แสดงผลการวิเคราะห์ความแปรปรวนของน้ำหนักแห้งลำต้นอายุที่ 14 วัน
ของถั่วอะซูกิ 10 สายพันธุ์

SOURCE	DF	SS	MS	F
REP (A)	2	0.66435	0.33217	4.28*
VAR (B)	9	2.18015	0.24224	3.12*
A*B	18	1.39812	0.07767	
TOTAL	29	4.24262		

CV = 16.60 %

ตารางภาคผนวกที่ 22 แสดงผลการวิเคราะห์ความแปรปรวนของน้ำหนักแห้งลำต้นอายุที่ 21 วัน
ของถั่วอะซูกิ 10 สายพันธุ์

SOURCE	DF	SS	MS	F
REP (A)	2	7.29686	3.64843	3.39ns
VAR (B)	9	8.77735	0.97526	0.91ns
A*B	18	19.3545		
TOTAL	29	35.4287		

CV = 24.71 %

ตารางภาคผนวกที่ 23 แสดงผลการวิเคราะห์ความแปรปรวนของน้ำหนักแห้งลำต้นอายุที่ 28 วัน
ของถั่วอะซูกิ 10 สายพันธุ์

SOURCE	DF	SS	MS	F
REP (A)	2	6.75089	3.37544	1.14ns
VAR (B)	9	60.4388	6.71542	2.27ns
A*B	18	53.3406	2.96337	
TOTAL	29	120.530		

CV = 18.09 %

ตารางภาคผนวกที่ 24 แสดงผลการวิเคราะห์ความแปรปรวนของน้ำหนักแห้งลำต้นอายุที่ 35 วัน
ของถั่วอะซูกิ 10 สายพันธุ์

SOURCE	DF	SS	MS	F
REP (A)	2	102.987	51.4933	2.12ns
VAR (B)	9	403.240	44.8044	1.85ns
A*B	18	436.491	24.2495	
TOTAL	29	942.718		

CV = 18.09 %

ตารางภาคผนวกที่ 25 แสดงผลการวิเคราะห์ความแปรปรวนของน้ำหนักแห้งลำต้นอายุที่ 42 วัน
ของถั่วอะซูกิ 10 สายพันธุ์

SOURCE	DF	SS	MS	F
REP (A)	2	1920.93	960.466	7.20**
VAR (B)	9	1468.11	163.123	1.22ns
A*B	18	2401.60	133.422	
TOTAL	29	5790.65		

CV = 30.54 %

ตารางภาคผนวกที่ 26 แสดงผลการวิเคราะห์ความแปรปรวนของน้ำหนักแห้งลำต้นอายุที่ 49 วัน
ของถั่วอะซูกิ 10 สายพันธุ์

SOURCE	DF	SS	MS	F
REP (A)	2	889.262	443.131	1.44ns
VAR (B)	9	5732.30	636.922	2.07ns
A*B	18	5542.23	307.901	
TOTAL	29	12160.8		

CV = 32.58 %

ตารางภาคผนวกที่ 27 แสดงผลการวิเคราะห์ความแปรปรวนของน้ำหนักแห้งลำต้นอายุที่ 56 วัน
ของถั่วอะซูกิ 10 สายพันธุ์

SOURCE	DF	SS	MS	F
REP (A)	2	957.032	478.516	1.25ns
VAR (B)	9	2940.91	326.768	0.85ns
A*B	18	6891.97	382.887	
TOTAL	29	10789.9		

CV = 39.40 %

ตารางภาคผนวกที่ 28 แสดงผลการวิเคราะห์ความแปรปรวนของน้ำหนักแห้งลำต้นอายุที่ 63 วัน
ของถั่วอะซูกิ 10 สายพันธุ์

SOURCE	DF	SS	MS	F
REP (A)	2	39.0259	19.5129	0.05ns
VAR (B)	9	32.10.40	356.711	0.85ns
A*B	18	7549.27	419.404	
TOTAL	29	10798.7		

CV = 29.19 %

ตารางภาคผนวกที่ 29 แสดงผลการวิเคราะห์ความแปรปรวนของน้ำหนักแห้งลำต้นอายุที่ 70 วัน
ของถั่วอะซูกิ 10 สายพันธุ์

SOURCE	DF	SS	MS	F
REP (A)	2	3861.47	1930.74	10.08**
VAR (B)	9	5130.09	570.011	2.98*
A*B	18	3446.40	191.467	
TOTAL	29	12438.0		

CV = 22.28 %

ตารางภาคผนวกที่ 30 แสดงผลการวิเคราะห์ความแปรปรวนของน้ำหนักแห้งรวมอายุที่ 14 วัน
ของถั่วอะซูกิ 10 สายพันธุ์

SOURCE	DF	SS	MS	F
REP (A)	2	12.5791	6.28956	7.14**
VAR (B)	9	26.3131	2.92368	3.32*
A*B	18	15.8549	0.88083	
TOTAL	29	54.7472		

CV = 16.88 %

ตารางภาคผนวกที่ 31 แสดงผลการวิเคราะห์ความแปรปรวนของน้ำหนักแห้งรวมอายุที่ 21 วัน
ของถั่วอะซูกิ 10 สายพันธุ์

SOURCE	DF	SS	MS	F
REP (A)	2	53.6651	26.8326	2.76ns
VAR (B)	9	85.3975	9.48861	0.98ns
A*B	18	174.734	9.70747	
TOTAL	29	313.797		

CV = 22.97 %

ตารางภาคผนวกที่ 32 แสดงผลการวิเคราะห์ความแปรปรวนของน้ำหนักแห้งรวมอายุที่ 28 วัน
ของถั่วอะซูกิ 10 สายพันธุ์

SOURCE	DF	SS	MS	F
REP (A)	2	60.3202	30.1601	0.71ns
VAR (B)	9	364.136	40.4595	0.95ns
A*B	18	763.809	42.4338	
TOTAL	29	1188.26		

CV = 20.30 %

ตารางภาคผนวกที่ 33 แสดงผลการวิเคราะห์ความแปรปรวนของน้ำหนักแห้งรวมอายุที่ 35 วัน
ของถั่วอะซูกิ 10 สายพันธุ์

SOURCE	DF	SS	MS	F
REP (A)	2	498.134	249.067	1.91ns
VAR (B)	9	2965.19	329.465	2.53*
A*B	18	2346.35	130.353	
TOTAL	29	5809.68		

CV = 15.83 %

ตารางภาคผนวกที่ 34 แสดงผลการวิเคราะห์ความแปรปรวนของน้ำหนักแห้งรวมอายุที่ 42 วัน
ของถั่วอะซูกิ 10 สายพันธุ์

SOURCE	DF	SS	MS	F
REP (A)	2	10465.0	5232.52	9.00**
VAR (B)	9	8688.78	965.420	1.66ns
A*B	18	10467.3	581.519	
TOTAL	29	29621.2		

CV = 24.87%

ตารางภาคผนวกที่ 35 แสดงผลการวิเคราะห์ความแปรปรวนของน้ำหนักแห้งรวมอายุที่ 49 วัน
ของถั่วอะซูกิ 10 สายพันธุ์

SOURCE	DF	SS	MS	F
REP (A)	2	5858.16	29.42.58	1.92ns
VAR (B)	9	24269.3	2696.58	1.76ns
A*B	18	27575.3	1531.96	
TOTAL	29	57729.8		

CV = 29.96 %

ตารางภาคผนวกที่ 36 แสดงผลการวิเคราะห์ความแปรปรวนของน้ำหนักแห้งรวมอายุที่ 56 วัน
ของถั่วอะซูกิ 10 สายพันธุ์

SOURCE	DF	SS	MS	F
REP (A)	2	36.18.30	1809.15	0.74ns
VAR (B)	9	15205.3	1689.48	0.69ns
A*B	18	43793.6	2432.98	
TOTAL	29	62617.2		

CV = 34.09 %

ตารางภาคผนวกที่ 37 แสดงผลการวิเคราะห์ความแปรปรวนของน้ำหนักแห้งรวมอายุที่ 63 วัน
ของถั่วอะซูกิ 10 สายพันธุ์

SOURCE	DF	SS	MS	F
REP (A)	2	4774.16	2387.08	0.81ns
VAR (B)	9	35725.2	3969.47	1.25ns
A*B	18	52974.3	2943.02	
TOTAL	29	93473.7		

CV = 29.31 %

ตารางภาคผนวกที่ 38 แสดงผลการวิเคราะห์ความแปรปรวนของน้ำหนักแห้งรวมอายุที่ 70 วัน
ของถั่วอะซูกิ 10 สายพันธุ์

SOURCE	DF	SS	MS	F
REP (A)	2	43181.4	21590.7	7.60**
VAR (B)	9	24.223.3	2691.48	0.95ns
A*B	18	51158.6	2842.14	
TOTAL	29	118563		

CV = 30.45 %

ตารางภาคผนวกที่ 39 แสดงผลการวิเคราะห์ความแปรปรวนของน้ำหนักเมล็ดอายุที่ 49 วัน
ของถั่วอะซูกิ 10 สายพันธุ์

SOURCE	DF	SS	MS	F
REP (A)	2	194.588	97.2942	1.29ns
VAR (B)	9	638.159	70.9065	0.94ns
A*B	18	1355.40	75.3002	
TOTAL	29	2188.15		

CV = 61.61 %

ตารางภาคผนวกที่ 40 แสดงผลการวิเคราะห์ความแปรปรวนของน้ำหนักเมล็ดอายุที่ 56 วัน
ของถั่วอะซูกิ 10 สายพันธุ์

SOURCE	DF	SS	MS	F
REP (A)	2	392.055	196.028	0.80ns
VAR (B)	9	6761.87	751.319	3.06*
A*B	18	4412.37	245.132	
TOTAL	29	11566.3		

CV =27.31 %

ตารางภาคผนวกที่ 41 แสดงผลการวิเคราะห์ความแปรปรวนของน้ำหนักเมล็ดอายุที่ 63 วัน
ของถั่วอะซูกิ 10 สายพันธุ์

SOURCE	DF	SS	MS	F
REP (A)	2	218.791	109.396	0.13ns
VAR (B)	9	12364.8	1373.86	1.66ns
A*B	18	14872.4	826.244	
TOTAL	29	27455.9		

CV =51.81 %

ตารางภาคผนวกที่ 42 แสดงผลการวิเคราะห์ความแปรปรวนของน้ำหนักเมล็ดอายุที่ 70 วัน
ของถั่วอะซูกิ 10 สายพันธุ์

SOURCE	DF	SS	MS	F
REP (A)	2	4886.33	2443.16	1.92ns
VAR (B)	9	3777.72	419.746	0.33ns
A*B	18	22946.6	1274.81	
TOTAL	29	31610.7		

CV =68.71 %

ตารางภาคผนวกที่ 43 แสดงผลการวิเคราะห์ความแปรปรวนของพื้นที่ใบอายุที่ 14 วัน
ของถั่วอะซูกิ 10 สายพันธุ์

SOURCE	DF	SS	MS	F
REP (A)	2	0.00290	0.00145	2.20ns
VAR (B)	9	0.01365	0.00152	2.30ns
A*B	18	0.01186	0.00065	
TOTAL	29	0.02842		

CV = 38.49 %

ตารางภาคผนวกที่ 44 แสดงผลการวิเคราะห์ความแปรปรวนของพื้นที่ใบอายุที่ 21 วัน
ของถั่วอะซูกิ 10 สายพันธุ์

SOURCE	DF	SS	MS	F
REP (A)	2	0.00710	0.00355	1.10ns
VAR (B)	9	0.04512	0.00501	1.55ns
A*B	18	0.05816	0.00323	
TOTAL	29	0.11038		

CV = 31.36 %

ตารางภาคผนวกที่ 45 แสดงผลการวิเคราะห์ความแปรปรวนของพื้นที่ใบอายุที่ 28 วัน
ของถั่วอะซูกิ 10 สายพันธุ์

SOURCE	DF	SS	MS	F
REP (A)	2	0.04193	0.02096	0.91ns
VAR (B)	9	0.70990	0.07888	3.44**
A*B	18	0.41331	0.02296	
TOTAL	29	1.16513		

CV = 28.20 %

ตารางภาคผนวกที่ 46 แสดงผลการวิเคราะห์ความแปรปรวนของพื้นที่ใบอายุที่ 35 วัน
ของถั่วอะซูกิ 10 สายพันธุ์

SOURCE	DF	SS	MS	F
REP (A)	2	0.40403	0.20201	2.40ns
VAR (B)	9	2.00614	0.22290	2.65*
A*B	18	1.51272	0.08404	
TOTAL	29	3.92289		

CV = 35.45 %

ตารางภาคผนวกที่ 47 แสดงผลการวิเคราะห์ความแปรปรวนของพื้นที่ใบอายุที่ 42 วัน
ของถั่วอะซูกิ 10 สายพันธุ์

SOURCE	DF	SS	MS	F
REP (A)	2	3.30205	1.65102	2.09ns
VAR (B)	9	8.22741	0.91416	1.16ns
A*B	18	14.2329	0.79072	
TOTAL	29	25.7623		

CV = 50.11 %

ตารางภาคผนวกที่ 48 แสดงผลการวิเคราะห์ความแปรปรวนของพื้นที่ใบอายุที่ 49 วัน
ของถั่วอะซูกิ 10 สายพันธุ์

SOURCE	DF	SS	MS	F
REP (A)	2	2.82487	1.41244	2.35ns
VAR (B)	9	5.52170	0.61352	1.46ns
A*B	18	7.58006	0.42111	
TOTAL	29	15.9266		

CV = 38.61 %

ตารางภาคผนวกที่ 49 แสดงผลการวิเคราะห์ความแปรปรวนของพื้นที่ใบอายุที่ 56 วัน
ของถั่วอะซูกิ 10 สายพันธุ์

SOURCE	DF	SS	MS	F
REP (A)	2	0.33633	0.16817	0.59ns
VAR (B)	9	4.51754	0.50195	1.75ns
A*B	18	5.15027	0.28613	
TOTAL	29	10.0041		

CV = 38.01 %

ตารางภาคผนวกที่ 50 แสดงผลการวิเคราะห์ความแปรปรวนของพื้นที่ใบอายุที่ 63 วัน
ของถั่วอะซูกิ 10 สายพันธุ์

SOURCE	DF	SS	MS	F
REP (A)	2	0.06648	0.03309	0.25ns
VAR (B)	9	5.67007	0.63001	4.78**
A*B	18	2.37393	0.13189	
TOTAL	29	8.11019		

CV = 26.75 %

ตารางภาคผนวกที่ 51 แสดงผลการวิเคราะห์ความแปรปรวนของพื้นที่ใบอายุที่ 70 วัน
ของถั่วอะซูกิ 10 สายพันธุ์

SOURCE	DF	SS	MS	F
REP (A)	2	0.14769	0.07384	0.43ns
VAR (B)	9	1.82373	0.20264	1.18ns
A*B	18	3.09540	0.17197	
TOTAL	29	5.06682		

CV = 39.18 %

ตารางภาคผนวกที่ 52 แสดงผลการวิเคราะห์ความแปรปรวนของค่า NAR ที่อายุ 14 วัน
ของถั่วอะซูกิ 10 สายพันธุ์

SOURCE	DF	SS	MS	F
REP (A)	2	6.568E-05	3.284E-05	2.57ns
VAR (B)	9	1.552E-04	1.725E-05	1.35ns
A*B	18	2.298E-04	1.277E-05	
TOTAL	29	4.507E-04		

CV= 36.95%

ตารางภาคผนวกที่ 53 แสดงผลการวิเคราะห์ความแปรปรวนของค่า NAR ที่อายุ 21 วัน
ของถั่วอะซูกิ 10 สายพันธุ์

SOURCE	DF	SS	MS	F
REP (A)	2	8.494E-07	4.247E-07	0.06ns
VAR (B)	9	9.281E-05	1.031E-05	1.55ns
A*B	18	1.200E-04	6.664E-06	
TOTAL	29	2.136E-04		

CV= 31.67%

ตารางภาคผนวกที่ 54 แสดงผลการวิเคราะห์ความแปรปรวนของค่า NAR ที่อายุ 28 วัน
ของถั่วอะซูกิ 10 สายพันธุ์

SOURCE	DF	SS	MS	F
REP (A)	2	8.921E-06	4.460E-06	0.44ns
VAR (B)	9	1.050E-04	1.167E-05	1.16ns
A*B	18	1.812E-04	1.007E-05	
TOTAL	29	2.952E-04		

CV= 47.79%

ตารางภาคผนวกที่ 55 แสดงผลการวิเคราะห์ความแปรปรวนของค่า NAR ที่อายุ 35 วัน
ของถั่วอะซูกิ 10 สายพันธุ์

SOURCE	DF	SS	MS	F
REP (A)	2	2.536E-05	1.268E-05	0.60ns
VAR (B)	9	2.265E-04	2.517E-05	1.19ns
A*B	18	3.813E-04	2.118E-05	
TOTAL	29	6.331E-04		

CV= 44.25%

ตารางภาคผนวกที่ 56 แสดงผลการวิเคราะห์ความแปรปรวนของค่า NAR ที่อายุ 42 วัน
ของถั่วอะซูกิ 10 สายพันธุ์

SOURCE	DF	SS	MS	F
REP (A)	2	5.087E-07	2.543E-07	0.05ns
VAR (B)	9	4.837E-05	5.375E-06	0.96ns
A*B	18	1.009E-04	5.606E-06	
TOTAL	29	1.498E-04		

CV= 37.46%

ตารางภาคผนวกที่ 57 แสดงผลการวิเคราะห์ความแปรปรวนของค่า NAR ที่อายุ 49 วัน
ของถั่วอะซูกิ 10 สายพันธุ์

SOURCE	DF	SS	MS	F
REP (A)	2	1.764E-04	8.818E-05	4.43*
VAR (B)	9	8.120E-05	9.023E-06	0.45ns
A*B	18	3.582E-04	1.990E-05	
TOTAL	29	6.158E-04		

CV= 49.02%

ตารางภาคผนวกที่ 58 แสดงผลการวิเคราะห์ความแปรปรวนของค่า NAR ที่อายุ 56 วัน
ของถั่วอะซูกิ 10 สายพันธุ์

SOURCE	DF	SS	MS	F
REP (A)	2	9.143E-05	4.571E-05	2.08ns
VAR (B)	9	2.089E-04	2.321E-05	1.06ns
A*B	18	3.950E-04	2.195E-05	
TOTAL	29	6.953E-04		

CV= 40.38%

ตารางภาคผนวกที่ 59 แสดงผลการวิเคราะห์ความแปรปรวนของค่า NAR ที่อายุ 63 วัน
ของถั่วอะซูกิ 10 สายพันธุ์

SOURCE	DF	SS	MS	F
REP (A)	2	5.558E-05	2.779E-05	1.10ns
VAR (B)	9	9.693E-04	1.077E-04	4.26**
A*B	18	4.552E-04	2.529E-05	
TOTAL	29	0.00148		

CV= 32.44%

ตารางภาคผนวกที่ 60 แสดงผลการวิเคราะห์ความแปรปรวนของค่า NAR ที่อายุ 70 วัน
ของถั่วอะซูกิ 10 สายพันธุ์

SOURCE	DF	SS	MS	F
REP (A)	2	2.877E-04	1.439E-04	2.20ns
VAR (B)	9	3.422E-04	3.802E-05	0.58ns
A*B	18	0.00117	6.526E-05	
TOTAL	29	0.00180		

CV= 44.42%

ตารางภาคผนวกที่ 61 แสดงผลการวิเคราะห์ความแปรปรวนของค่า LAR ที่อายุ 14 วัน
ของถั่วอะซูกิ 10 สายพันธุ์

SOURCE	DF	SS	MS	F
REP (A)	2	10014.6	5007.30	3.17ns
VAR (B)	9	25206.6	2800.73	1.77ns
A*B	18	28466.3	1581.46	
TOTAL	29	63687.5		

CV= 33.24%

ตารางภาคผนวกที่ 62 แสดงผลการวิเคราะห์ความแปรปรวนของค่า LAR ที่อายุ 21 วัน
ของถั่วอะซูกิ 10 สายพันธุ์

SOURCE	DF	SS	MS	F
REP (A)	2	1090.42	545.211	0.40ns
VAR (B)	9	25383.0	2820.34	2.05ns
A*B	18	24721.4	1373.41	
TOTAL	29	51194.9		

CV= 27.41%

ตารางภาคผนวกที่ 63 แสดงผลการวิเคราะห์ความแปรปรวนของค่า LAR ที่อายุ 28 วัน
ของถั่วอะซูกิ 10 สายพันธุ์

SOURCE	DF	SS	MS	F
REP (A)	2	913.822	456.911	0.19ns
VAR (B)	9	23343.7	2593.74	1.09ns
A*B	18	42912.3	2384.02	
TOTAL	29	67169.8		

CV= 29.06%

ตารางภาคผนวกที่ 64 แสดงผลการวิเคราะห์ความแปรปรวนของค่า LAR ที่อายุ 35 วัน
ของถั่วอะซูกิ 10 สายพันธุ์

SOURCE	DF	SS	MS	F
REP (A)	2	2987.66	1493.83	1.19ns
VAR (B)	9	22827.7	2536.41	2.00ns
A*B	18	22809.5	1267.19	
TOTAL	29	48624.8		

CV= 31.69%

ตารางภาคผนวกที่ 65 แสดงผลการวิเคราะห์ความแปรปรวนของค่า LAR ที่อายุ 42 วัน
ของถั่วอะซูกิ 10 สายพันธุ์

SOURCE	DF	SS	MS	F
REP (A)	2	1422.45	711.226	0.15ns
VAR (B)	9	37600.6	4177.84	0.89ns
A*B	18	84021.6	4669.53	
TOTAL	29	123075		

CV= 38.19%

ตารางภาคผนวกที่ 66 แสดงผลการวิเคราะห์ความแปรปรวนของค่า LAR ที่อายุ 49 วัน
ของถั่วอะซูกิ 10 สายพันธุ์

SOURCE	DF	SS	MS	F
REP (A)	2	32728.2	16364.1	3.84ns
VAR (B)	9	10338.4	1148.71	0.27ns
A*B	18	76689.9	4260.55	
TOTAL	29	119756		

CV= 47.91%

ตารางภาคผนวกที่ 67 แสดงผลการวิเคราะห์ความแปรปรวนของค่า LAR ที่อายุ 56 วัน
ของถั่วอะซูกิ 10 สายพันธุ์

SOURCE	DF	SS	MS	F
REP (A)	2	4880.49	2440.25	1.78ns
VAR (B)	9	22122.4	2458.04	1.80ns
A*B	18	24630.7	1368.37	
TOTAL	29	51633.6		

CV= 36.32%

ตารางภาคผนวกที่ 68 แสดงผลการวิเคราะห์ความแปรปรวนของค่า LAR ที่อายุ 63 วัน
ของถั่วอะซูกิ 10 สายพันธุ์

SOURCE	DF	SS	MS	F
REP (A)	2	964.695	482.347	0.24ns
VAR (B)	9	38395.6	426.51	2.16ns
A*B	18	35503.4	1972.41	
TOTAL	29	748663.7		

CV= 54.71%

ตารางภาคผนวกที่ 69 แสดงผลการวิเคราะห์ความแปรปรวนของค่า LAR ที่อายุ 70 วัน
ของถั่วอะซูกิ 10 สายพันธุ์

SOURCE	DF	SS	MS	F
REP (A)	2	4712.42	2356.21	2.56ns
VAR (B)	9	7416.31	824.035	0.90ns
A*B	18	16546.3	919.240	
TOTAL	29	28675.0		

CV= 45.77%

ตารางภาคผนวกที่ 70 แสดงผลการวิเคราะห์ความแปรปรวนของค่า SLW ที่อายุ 14 วัน
ของถั่วอะซูกิ 10 สายพันธุ์

SOURCE	DF	SS	MS	F
REP (A)	2	3.896E-05	1.948E-05	2.97ns
VAR (B)	9	7.357E-05	8.174E-06	1.24ns
A*B	18	1.182E-04	6.566E-06	
TOTAL	29	2.307E-04		

CV= 38.07%

ตารางภาคผนวกที่ 71 แสดงผลการวิเคราะห์ความแปรปรวนของค่า SLW ที่อายุ 21 วัน
ของถั่วอะซูกิ 10 สายพันธุ์

SOURCE	DF	SS	MS	F
REP (A)	2	2.066E-07	1.033E-07	0.03ns
VAR (B)	9	4.434E-05	4.927E-06	1.61ns
A*B	18	5.517E-05	3.065E-06	
TOTAL	29	9.971E-05		

CV= 31.15%

ตารางภาคผนวกที่ 72 แสดงผลการวิเคราะห์ความแปรปรวนของค่า SLW ที่อายุ 28 วัน
ของถั่วอะซูกิ 10 สายพันธุ์

SOURCE	DF	SS	MS	F
REP (A)	2	7.065E-06	3.533E-06	0.51ns
VAR (B)	9	7.635E-05	8.483E-06	1.22ns
A*B	18	1.247E-04	6.959E-06	
TOTAL	29	2.081E-04		

CV= 36.95%

ตารางภาคผนวกที่ 73 แสดงผลการวิเคราะห์ความแปรปรวนของค่า SLW ที่อายุ 35 วัน
ของถั่วอะซูกิ 10 สายพันธุ์

SOURCE	DF	SS	MS	F
REP (A)	2	1.832E-05	9.162E-06	1.08ns
VAR (B)	9	9.145E-05	1.016E-05	1.20ns
A*B	18	1.528E-04	8.486E-06	
TOTAL	29	2.625E-04		

CV= 55.77%

ตารางภาคผนวกที่ 74 แสดงผลการวิเคราะห์ความแปรปรวนของค่า SLW ที่อายุ 42 วัน
ของถั่วอะซูกิ 10 สายพันธุ์

SOURCE	DF	SS	MS	F
REP (A)	2	3.985E-07	1.992E-07	0.09ns
VAR (B)	9	1.704E-05	1.893E-06	0.90ns
A*B	18	3.792E-05	2.107E-06	
TOTAL	29	5.536E-05		

CV= 42.16%

ตารางภาคผนวกที่ 75 แสดงผลการวิเคราะห์ความแปรปรวนของค่า SLW ที่อายุ 49 วัน
ของถั่วอะซูกิ 10 สายพันธุ์

SOURCE	DF	SS	MS	F
REP (A)	2	2.012E-05	1.006E-05	2.63ns
VAR (B)	9	2.319E-05	2.577E-06	0.67ns
A*B	18	6.888E-05	3.827E-06	
TOTAL	29	1.122E-04		

CV= 38.70%

ตารางภาคผนวกที่ 76 แสดงผลการวิเคราะห์ความแปรปรวนของค่า SLW ที่อายุ 56 วัน
ของถั่วอะซูกิ 10 สายพันธุ์

SOURCE	DF	SS	MS	F
REP (A)	2	1.550W-05	7.750E-06	2.76ns
VAR (B)	9	3.868E-05	4.298E-06	1.53ns
A*B	18	5.061E-05	2.812E-06	
TOTAL	29	1.048E-04		

CV= 37.43%

ตารางภาคผนวกที่ 77 แสดงผลการวิเคราะห์ความแปรปรวนของค่า SLW ที่อายุ 63 วัน
ของถั่วอะซูกิ 10 สายพันธุ์

SOURCE	DF	SS	MS	F
REP (A)	2	4.652E-06	2.326E-06	1.42ns
VAR (B)	9	7.504E-05	8.338E-06	5.10**
A*B	18	2.942E-05	1.634E-06	
TOTAL	29	1.091E-04		

CV= 22.82%

ตารางภาคผนวกที่ 78 แสดงผลการวิเคราะห์ความแปรปรวนของค่า SLW ที่อายุ 70 วัน
ของถั่วอะซูกิ 10 สายพันธุ์

SOURCE	DF	SS	MS	F
REP (A)	2	7.265E-05	3.632E-05	5.97*
VAR (B)	9	5.234E-05	5.815E-06	0.96ns
A*B	18	1.096E-04	6.088E-06	
TOTAL	29	2.346E-04		

CV= 38.61%

ตารางภาคผนวกที่ 79 แสดงผลการวิเคราะห์ความแปรปรวนของจำนวนกิ่งต่อต้น
ของถั่วอะซูกิ 10 สายพันธุ์

SOURCE	DF	SS	MS	F
REP (A)	2	4.81867	2.40933	4.44*
VAR (B)	9	10.6680	1.18533	2.1ns
A*B	18	9.76800	0.54267	
TOTAL	29	25.2547		

CV = 18.82 %

ตารางภาคผนวกที่ 80 แสดงผลการวิเคราะห์ความแปรปรวนของจำนวนข้อต่อต้น
ของถั่วอะซูกิ 10 สายพันธุ์

SOURCE	DF	SS	MS	F
REP (A)	2	3.23267	1.61633	1.60ns
VAR (B)	9	26.2003	2.91115	2.87*
A*B	18	18.2407	1.01337	
TOTAL	29	47.6737		

CV = 14.06 %

ตารางภาคผนวกที่ 81 แสดงผลการวิเคราะห์ความแปรปรวนของจำนวนฝักต่อต้น
ของถั่วอะซูกิ 10 สายพันธุ์

SOURCE	DF	SS	MS	F
REP (A)	2	8.80800	4.40400	0.76ns
VAR (B)	9	48.4280	5.38089	0.93ns
A*B	18	104.072	5.78178	
TOTAL	29	161.308		

CV = 27.26 %

ตารางภาคผนวกที่ 82 แสดงผลการวิเคราะห์ความแปรปรวนของจำนวนเมล็ดต่อฝัก
ของถั่วอะซูกิ 10 สายพันธุ์

SOURCE	DF	SS	MS	F
REP (A)	2	0.67561	0.33780	1.12ns
VAR (B)	9	8.40487	0.93387	3.11*
A*B	18	5.40639	0.30036	
TOTAL	29	14.4869		

CV = 10.78 %

ตารางภาคผนวกที่ 83 แสดงผลการวิเคราะห์ความแปรปรวนของน้ำหนัก 100 เมล็ด
ของถั่วอะซูกิ 10 สายพันธุ์

SOURCE	DF	SS	MS	F
REP (A)	2	3.31173	1.65586	3.44ns
VAR (B)	9	54.6807	6.07563	12.61**
A*B	18	8.67361	0.48187	
TOTAL	29	66.6660		

CV = 9.41 %

ตารางภาคผนวกที่ 84 แสดงผลการวิเคราะห์ความแปรปรวนของผลผลิต (กิโลกรัมต่อไร่)
ของถั่วอะซูกิ 10 สายพันธุ์

SOURCE	DF	SS	MS	F
REP (A)	2	5517.03	2758.52	0.31ns
VAR (B)	9	28381.6	3153.52	0.41ns
A*B	18	137555	7641.92	
TOTAL	29	171453		

CV = 33.73 %

ตารางภาคผนวกที่ 85 ผลการวิเคราะห์ตัวอย่างดินแปลงทดลองภาควิชาพืชไร่ คณะเกษตรศาสตร์ มหาวิทยาลัยเชียงใหม่ ก่อนปลูกในฤดูปลูก 2545

pH	OM(%)	N(%)	P(ppm)	K(ppm)
6.31	1.60	0.098	145.8	78.0

ตารางภาคผนวกที่ 86 ข้อมูลอุณหภูมิตัวในในช่วงเดือน กุมภาพันธ์ 2545 ถึงเดือน พฤษภาคม 2545 แปลงทดลองภาควิชาพืชไร่ คณะเกษตรศาสตร์ มหาวิทยาลัยเชียงใหม่

เดือน	อุณหภูมิ (°C)			ความชื้นสัมพัทธ์เฉลี่ย %	ปริมาณน้ำฝน mm	ความยาววัน (hrs.)	
	สูงสุด	ต่ำสุด	เฉลี่ย			Act.	Poss.
กุมภาพันธ์	33.6	16.6	23.6	66.1	11.2	8.8	11.4
มีนาคม	35.7	18.7	25.9	57.6	0.8	8.2	11.9
เมษายน	38.2	21.5	28.6	52.9	23.6	9.0	12.4
พฤษภาคม	34.2	23.1	27.8	72.6	243.5	5.9	12.9

ประวัติผู้เขียน

ชื่อ-นามสกุล นางสาวนางเยาว์ จันทน์อินทร์

วัน เดือน ปีเกิด 4 พฤษภาคม 2521

ประวัติการศึกษา สำเร็จการศึกษาระดับมัธยมต้นและมัธยมปลาย
โรงเรียนวัด โนทัยพายัพ เชียงใหม่ปีการศึกษา 2538

 สำเร็จการศึกษาปริญญาวิทยาศาสตรบัณฑิต
สาขาวิชาฟิสิกส์ คณะเกษตรศาสตร์
มหาวิทยาลัยเชียงใหม่ ปีการศึกษา 2542